



# **Применение теории подобия при моделировании объектов различного масштаба**

**[Методы масштабирования задач  
о диффузии в программе Elcut]**

**К.т.н. В.Т. Чемерис, асс. И.А. Бородий  
Национальный авиационный университет Украины,  
г. Киев**



# Динамические процессы и их уравнения для неподвижных сред

## 1. Уравнение переноса массы,

обусловленного диффузией в результате неоднородной концентрации частиц (так назыв. само-диффузия),  
в отсутствие термодиффузии и бародиффузии

$$\frac{\partial u}{\partial t} - D_1 \nabla^2 u = 0$$

Здесь  $u \equiv \rho$  - плотность среды  $\left[ \frac{\text{кг}}{\text{м}^3} \right]$ ,  $D_1$  - коэффициент диффузии  $\left[ \frac{\text{м}^2}{\text{с}} \right]$ ,

$$\nabla = \frac{\partial}{\partial x} + \frac{\partial}{\partial y} + \frac{\partial}{\partial z} \quad - \text{оператор Гамильтона (набла),}$$

$$\nabla^2 = \Delta = \frac{\partial^2}{\partial x^2} + \frac{\partial^2}{\partial y^2} + \frac{\partial^2}{\partial z^2} \quad - \text{оператор Лапласа.}$$

Для газообразной среды  $D_1 = (1/3)\langle v \rangle \langle l \rangle$ , где

$\langle v \rangle$  - средне-массовая скорость теплового движения частиц среды,

$\langle l \rangle$  - средняя длина свободного пробега частиц среды.



## 2. Уравнение переноса тепла.

$$c_p \rho \frac{\partial u}{\partial t} - \nabla \cdot (\lambda \nabla u) = 0$$

Здесь  $u \equiv T$  - температура среды;

$\lambda$  - коэффициент теплопроводности,  $\left[ \frac{\text{Дж}}{\text{м} \cdot \text{с} \cdot ^\circ\text{К}} \right]$  ;

$c_p$  - изобарная теплоемкость,  $\left[ \frac{\text{Дж}}{\text{кг} \cdot ^\circ\text{К}} \right]$  ;  $\rho$  - плотность среды,  $\left[ \frac{\text{кг}}{\text{м}^3} \right]$  .

## 3. Уравнение диффузии магнитного поля.

$$\frac{\partial u}{\partial t} - \frac{1}{\mu\sigma} \nabla^2 u = 0$$

Здесь  $u \equiv B$  - индукция магнитного поля,  $Tл$  ;

$\mu$  - магнитная проницаемость среды  $\left[ \frac{\text{Гн}}{\text{м}} \right]$  ;

$\sigma$  - коэффициент электропроводности среды  $\left[ \frac{1}{\text{Ом} \cdot \text{м}} \right]$  .



Для однородной и изотропной среды все эти уравнения могут быть записаны в одинаковой форме уравнения диффузии с использованием соответствующих каждому случаю значений коэффициента диффузии.

$$\frac{\partial u}{\partial t} - D_K \nabla^2 u = 0$$

1. Для **уравнения переноса массы** необходимо использовать коэффициент диффузии частиц:

$$D_K = D_1 = \frac{1}{3} \langle v \rangle \cdot \langle l \rangle \left[ \frac{m^2}{c} \right]$$

2. Для **уравнения переноса тепла** необходимо использовать коэффициент диффузии тепла, который также называют коэффициентом температуропроводности:

$$D_K = D_2 = \frac{\lambda}{c_p \cdot \rho} \left[ \frac{m^2}{c} \right]$$

3. Для **уравнения диффузии магнитного поля** необходимо использовать коэффициент диффузии магнитного поля:

$$D_K = D_3 = \frac{1}{\mu \cdot \sigma} \left[ \frac{m^2}{c} \right]$$



Почему для нас представляет интерес установление соответствия, вплоть до полного подобия, между решениями уравнения диффузии для различных объектов моделирования, характеризуемых значительным отличием размеров модели и длительностью процесса?

В практике моделирования разработчик может встретить необходимость моделирования процессов диффузии как в крупных системах гигантских размеров при очень большой длительности процесса, с одной стороны, так и в микроскопических системах с чрезвычайно малой длительностью процесса, с другой стороны.

Не всегда разумно выполнять моделирование процесса на компьютере в реальном масштабе размеров объекта и, что особенно существенно, в реальном масштабе времени. Принципы подобия решений, которые будут сформулированы далее, дают возможность преобразовать решение, полученное для некоторых фиксированных пространственно-временных характеристик объекта, в решение для геометрически подобной модели с пространственно-временными характеристиками, заданными в совершенно другом диапазоне значений.



## Какие объекты могут встретиться разработчику при моделировании динамических процессов с помощью программы ELCUT?

Программа **ELCUT** имеет широкие интервалы допустимых значений размеров объекта и широкие границы допустимой длительности процесса в модели:

от **1 мкм** вплоть до **1 км** – по размерам;

от  **$10^{-32}$**  вплоть до **очень большой длительности** процесса – по времени.

Особенностью и преимуществом программы ELCUT является возможность построения геометрии модели объекта в графическом редакторе путем простого рисования.

При этом пространственные координаты модели в компьютере должны быть выбраны в определенном соответствии с масштабом объекта, будь то объект суб-микронных размеров или же гигантских размеров.



# I. Предположим, мы имеем дело с процессом большой длительности в объекте достаточно больших размеров.

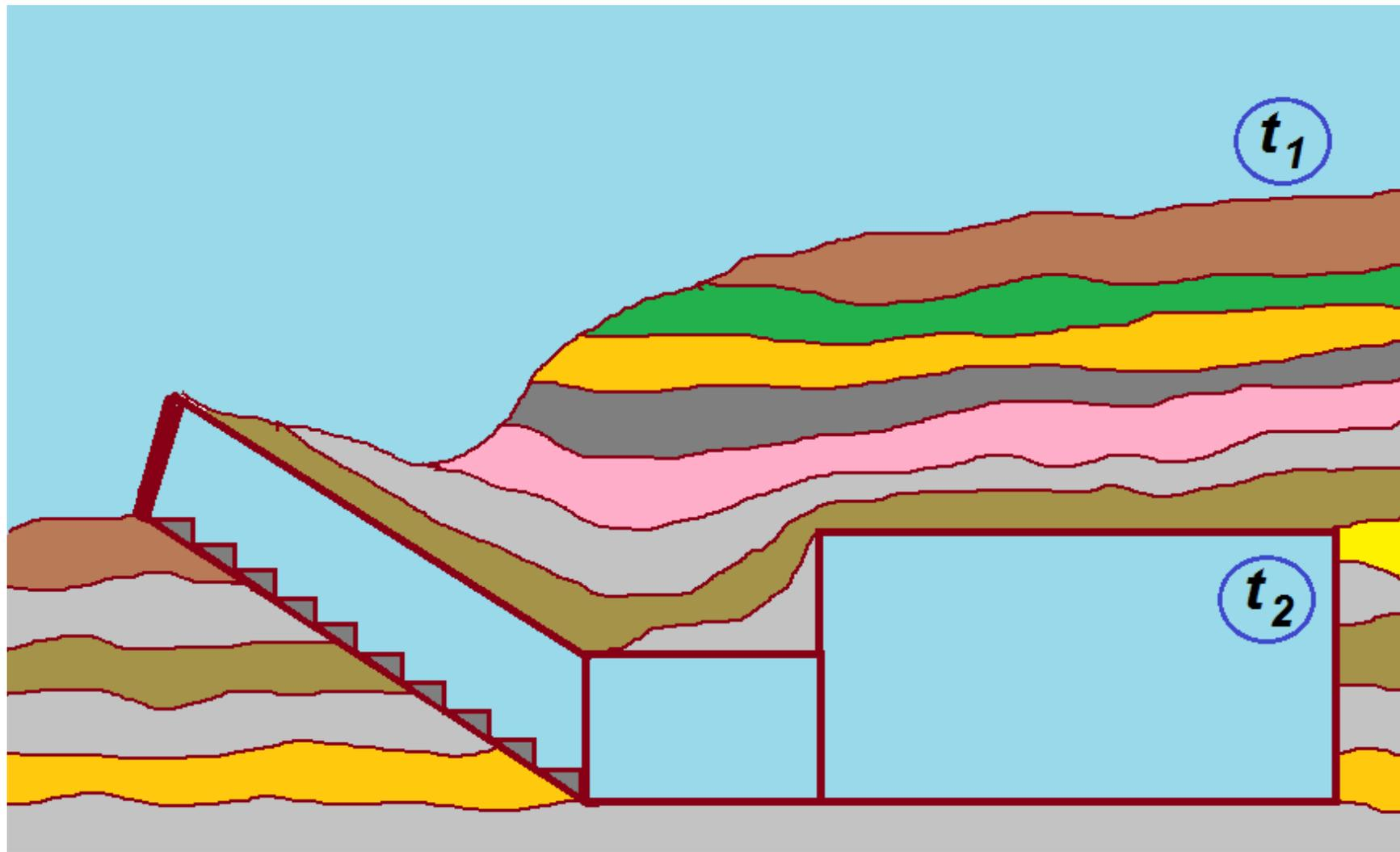
**Например**, процесс диффузии тепла сквозь многослойное защитное покрытие подземных овощехранилищ (или фруктохранилищ) может иметь длительность в реальном времени **около  $\frac{1}{2}$  года** (Рисунок на следующем слайде).

Это не означает, что мы должны сидеть возле компьютера на протяжении 6 месяцев и дожидаться решения задачи о моделировании диффузии тепла.

Мы должны использовать масштабные коэффициенты, чтобы обеспечить подобие между процессом в нашей компьютерной модели и реальным процессом при разумном времени решения задачи.



Проникновение тепла через многослойное покрытие – пример диффузии тепла в течение достаточно большого времени через объект больших размеров.





## А КАК ОБСТОИТ ДЕЛО С МОДЕЛИРОВАНИЕМ ДИНАМИЧЕСКИХ ПОЛЕЙ В ОБЪЕКТАХ МИКРОСКОПИЧЕСКИХ РАЗМЕРОВ?

В этом случае мы должны быть уверены, что модель очень малого микро-объекта может быть успешно изображена на экране графического редактора программы. Только при этом условии мы сможем воспользоваться преимуществами создания модели с помощью графического редактора.

Это означает, что размеры реального объекта должны быть определенным образом преобразованы (т.е. увеличены), чтобы изображение модели соответствовало рабочему полю графического редактора.



Помимо вопроса о соотношении размеров реального объекта и его модели на экране компьютера, возникает вопрос о соотношении длительности процесса в реальном объекте и его длительности в компьютерной модели.



## II. Пример моделирования объекта микроскопических размеров.

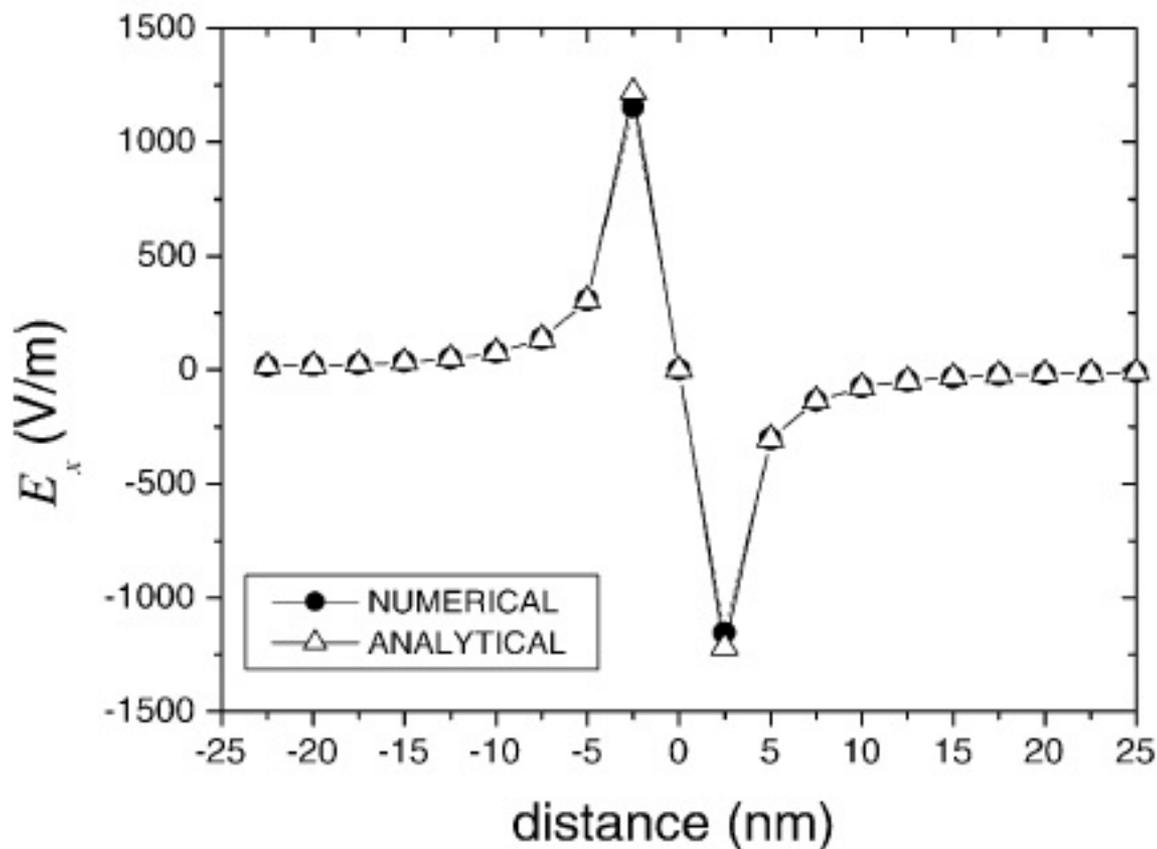
Необходимость моделирования микро-объектов возникает при изучении микромагнитных процессов либо при изучении процессов передачи тепла в микро-миниатюрных элементах вычислительной техники или приборов для научных исследований. Моделирование тепловых или электромагнитных процессов в элементах суб-микронных размеров может также с успехом применяться при разработке новых материалов и изделий в нанотехнологиях.

В качестве примера необходимости расчета электрического поля в объекте микроскопических размеров (около  $50 \text{ нм} = 50 \cdot 10^{-9} \text{ м}$ ) рассмотрим расчет осциллирующего поля микромагнитного диполя, описанный в журнале *IEEE Transactions on Magnetics*.

- =====
- [1] E.Martinez, L.Torres and L.Lopez-Diaz. Computing of solenoidal field in micromagnetic simulations, *IEEE Transactions on Magnetics*, vol. 40, no.5, Sept. 2004, pp. 3240 – 3243.



При исследовании микромагнитных процессов было рассчитано электрическое поле в объеме кубика со стороной размером 50 нм (опубликовано E.Martinez, L.Torres and L.Lopez-Diaz, 2004 [1])



Сравнение аналитического и численного решения.

Figure 3 из [1]:

Электрическое поле  $E_x$  осциллирующего диполя как функция расстояния от диполя вдоль оси  $y$  для момента времени

$$t = 1.32 \cdot 10^{-32} \text{ с.}$$

Аналитическое решение задачи дано в книге: Дж.Джексон. Классическая электродинамика (пер.с англ., New York, Wiley). М., Мир. – 1970.



Наиболее подходящими процессами для обсуждения вопроса о масштабировании моделей при моделировании динамических процессов являются:

- 1) нестационарное проникновение тепла в среду с линейными свойствами, или **Диффузия тепла**;
- 2) нестационарное проникновение электромагнитного поля в ферромагнитную среду, обладающую электрической проводимостью – процесс, известный под названием **Диффузия электромагнитного поля**.

На этих процессах будет возможно показать взаимосвязь между временными и пространственными масштабами, **с одной стороны**, и теплофизическими или электромагнитными параметрами среды [как температуропроводность в случае (1) или магнитная проницаемость и электропроводность среды в случае (2)], **с другой стороны**.



**ПРИМЕНЕНИЕ ПРИНЦИПА ПОДОБИЯ ПОЛЕЙ К ДВУМ  
МОДЕЛЯМ ФЕРРОМАГНИТНОЙ СРЕДЫ ПРИ РАЗЛИЧНЫХ  
РАЗМЕРАХ И РАЗЛИЧНЫХ ЭЛЕКТРОМАГНИТНЫХ СВОЙСТВАХ  
(т.е. магнитной проницаемости  $\mu$  и электропроводности  $\sigma$ ).**

Электромагнитный процесс в каждом из двух образцов сравниваемых сред может быть описан типовым уравнением нестационарной диффузии

$$\frac{\partial B}{\partial t} = D \Delta \vec{B}; \quad D = \frac{1}{\mu \sigma}$$

где  $B$  – локальное значение магнитной индукции,  
 $D$  – локальное значение коэффициента диффузии поля.

Далее подразумевается, что величины  $\mu_1, \sigma_1$  относятся к 1-му образцу, а величины  $\mu_2, \sigma_2$  – ко 2-му образцу.



Условия подобия полей особенно легко могут быть установлены в случае, когда оба образца представляют собой однородные среды с линейными свойствами.

Условия подобия картин диффузии поля могут быть введены на основе одного из двух следующих подходов: :

- **1.** Когда коэффициент диффузии имеет одинаковое значение для обоих образцов:  $D_1 = D_2$ .
- **2.** Когда отношение между длительностями электромагнитных процессов в образцах ( $T_1/T_2$ ) задано заранее без взаимосвязи с отношением характеристических размеров ( $X_1/X_2$ ) первого и второго образца.
- **3.** В общем случае равенства безразмерных коэффициентов диффузии:  $D_1^* = D_2^*$ . Эти нормированные величины будут введены на следующем слайде..



**ПОДХОД 1.** Прежде чем установить условия подобия полей, необходимо задать характеристический размер и характеристическое время для каждого образца и принять их в качестве базовых параметров для каждого из процессов:

$$T_1 = T_{1bas}, \quad X_1 = X_{1bas}, \quad B_1 = B_{1bas}$$

для 1-го образца;

---

$$T_2 = T_{2bas}, \quad X_2 = X_{2bas}, \quad B_2 = B_{2bas}$$

для 2-го образца.

---

Уравнение диффузии поля теперь может быть переписано в нормированных переменных

$$t^* = t / T_{bas}; \quad B^* = B / B_{bas};$$
$$x^* = x / X_{bas}; \quad y^* = y / X_{bas}; \quad z^* = z / X_{bas}.$$

(каждому образцу далее соответствуют  
индексы 1 или 2)



Уравнение диффузии поля теперь принимает вид:  
(пусть индекс 1 принадлежит реальному объекту, а индекс 2 принадлежит компьютерной модели). :

$$\partial B_1^* / \partial t_1^* = D_1 \frac{T_{1bas}}{X_{1bas}^2} \Delta_1^* B_1^*; \quad (1) \quad \partial B_2^* / \partial t_2^* = D_2 \frac{T_{2bas}}{X_{2bas}^2} \Delta_2^* B_2^*. \quad (2)$$

Здесь  $\Delta_1^*$ ,  $\Delta_2^*$  - это операторы Лапласа в безразмерных переменных,

$$B_1^* = f_1(x_1^*, y_1^*, z_1^*, t_1^*); \quad B_2^* = f_2(x_2^*, y_2^*, z_2^*, t_2^*)$$

- это нормированные функции поля, зависящие от безразмерных переменных.

$B_1^*$ ,  $B_2^*$  могут быть представлены в любом подходящем масштабе по желанию разработчика, т.к. они входят одновременно в левую и правую часть каждого уравнения.

Для нас важно рассмотреть распределение полей в момент времени

$$t_{comp} = T_{2bas}, \quad \text{где время } t_{comp} \text{ решения задачи на}$$

компьютере может достигать полного времени диффузии поля  $T_{2bas}$  в образце, который мы моделируем.



При условии равенства нормированных значений коэффициента диффузии

$$D_1^* = D_2^*, \quad \text{или} \quad D_1 \frac{T_{1bas}}{X_{1bas}^2} = D_2 \frac{T_{2bas}}{X_{2bas}^2} \quad (3)$$

уравнение (1) идентично уравнению (2).

Это означает, что безразмерное решение уравнения (2) совпадает с безразмерным решением уравнения (1), т.е.

$$f_1(x_1^*, y_1^*, z_1^*, t_1^*) = f_2(x_2^*, y_2^*, z_2^*, t_2^*)$$

Таким образом, нормированные значения коэффициента диффузии (3) образуют **общий критерий подобия** для уравнений (1) и (2):

$$D_1^* = D_1 \frac{T_{1bas}}{X_{1bas}^2}; \quad D_2^* = D_2 \frac{T_{2bas}}{X_{2bas}^2}.$$

Когда мы используем 1-й подход для установления подобия полей, т.е. считаем, что  $D_1 = D_2$ , в качестве условия для подобия полей в конечный момент времени мы должны принять условие

$$T_{1bas} / T_{2bas} = (X_{1bas} / X_{2bas})^2.$$



**ПОДХОД 2.** Второй подход основан на том, что *a priori* принимается равенство скоростей диффузии поля в массив материала каждого образца:

$$V_{1diff} = V_{2diff}.$$

Скорость диффузии поля может быть определена через коэффициент диффузии  $D$  и глубину скин-слоя  $\delta$  для проникновения поля:

$$V_{diff} = D / \delta = 1 / (\mu \cdot \sigma \cdot \delta).$$

Отсюда имеем определение для глубины скин-слоя  $\delta = D / V_{diff}$ , которое дает возможность вычислить мгновенное значение глубины проникновения как функцию времени (в предположении, что среда обладает линейными свойствами):

$$\delta(t) = V_{diff} \cdot t. \quad \text{Соответственно, } V_{diff}(t) = 1 / (\mu \cdot \sigma \cdot \delta(t))$$

На этом общем определении скорости диффузии поля основано общеизвестное выражение для глубины скин-слоя:

$$\delta^2(t) = D \cdot t; \quad \delta(t) = \sqrt{\frac{t}{\mu\sigma}}.$$



Исходя из принятого ***a priori*** равенства скорости диффузии поля в образце 1 и образце 2, если учесть, что соотношение (3) для нормированных значений коэффициента диффузии является необходимым условием идентичности уравнений (1) и (2), приходим к выводу, что для подобия решений в конечный момент времени ( $t_{1max}$  or  $t_{2max}$ ) необходимо соблюсти условие:

$$\frac{\delta_1(t_{max})}{\delta_2(t_{max})} = \frac{T_{2bas}}{T_{1bas}} \cdot \left( \frac{X_{1bas}}{X_{2bas}} \right)^2. \quad (4)$$

Кроме того, мы можем учесть, что в конце процесса диффузии полная глубина проникновения поля приближается к характерному размеру образца, т.е.

$$\left. \frac{\delta_1(t)}{\delta_2(t)} \right|_{t \rightarrow t_{max}} \Rightarrow \frac{X_{1bas}}{X_{2bas}}. \quad (5)$$

Используя (5), вместо (4) получаем новое условие:

$$\frac{T_{1bas}}{T_{2bas}} = \frac{X_{1bas}}{X_{2bas}}.$$

Когда соотношение длительностей электромагнитного процесса в образцах ( $T_{1bas} / T_{2bas}$ ) задано заранее, можно определить требуемое для подобия соотношение размеров.



В соответствии с **ПОДХОДОМ 2** подобие конечной картины распределения поля в конечный момент времени будет обеспечено при условии, что отношение характеристических размеров модели и реального объекта будет выбрано равным отношению ожидаемых времен полной диффузии поля в модель и в реальный объект моделирования:

$$\frac{X_{1bas}}{X_{2bas}} = \frac{T_{1bas}}{T_{2bas}} .$$

Это условие означает, что будет соблюдено равенство скоростей диффузии поля в один и другой образец.

Результаты проведенного рассмотрения показывают, что согласно **ПОДХОДУ 1** обеспечивается строгая формальная идентичность уравнений поля (и их решений) для компьютерной модели и реального объекта. Некоторое отклонение в подобии конечных распределений поля может быть вызвано только нелинейностью свойств материала в сравниваемых образцах (разумеется, если она учитывается при постановке задачи).

**В общем случае** ПОДХОД 1 применим при любых значениях  $D_1 \neq D_2$ , поскольку выражение (3) является общим условием идентичности уравнений (1) и (2), т. е. является критерием подобия решений при любых комбинациях параметров  $D, T_{bas}, X_{bas}$ .



В то же время **ПОДХОД 2**, помимо формального условия идентичности уравнений диффузии поля в реальный объект и его компьютерную модель, использует дополнительное физическое предположение о равенстве скоростей диффузии поля в каждый объект. Это ведет к пропорциональности между характеристическими временами образцов и полным временем диффузии поля в каждый образец. Такой применим лишь в случае, если равенство скоростей диффузии поля задано как дополнительное условие задачи.

**Заметим, что при учете нелинейных свойств материалов данный подход, как и 1-й, не гарантирует точного соблюдения подобия в распределении полей.**

Как правило, магнитная проницаемость ферромагнитных материалов зависит от уровня индукции магнитного поля. В программе ELCUT предусмотрена возможность ввода кривой намагничивания материала в процесс моделирования. Это означает, что условия подобия картины магнитного поля могут быть достигнуты при обеспечении одинакового уровня магнитных полей в расчетной модели и в реальном объекте.

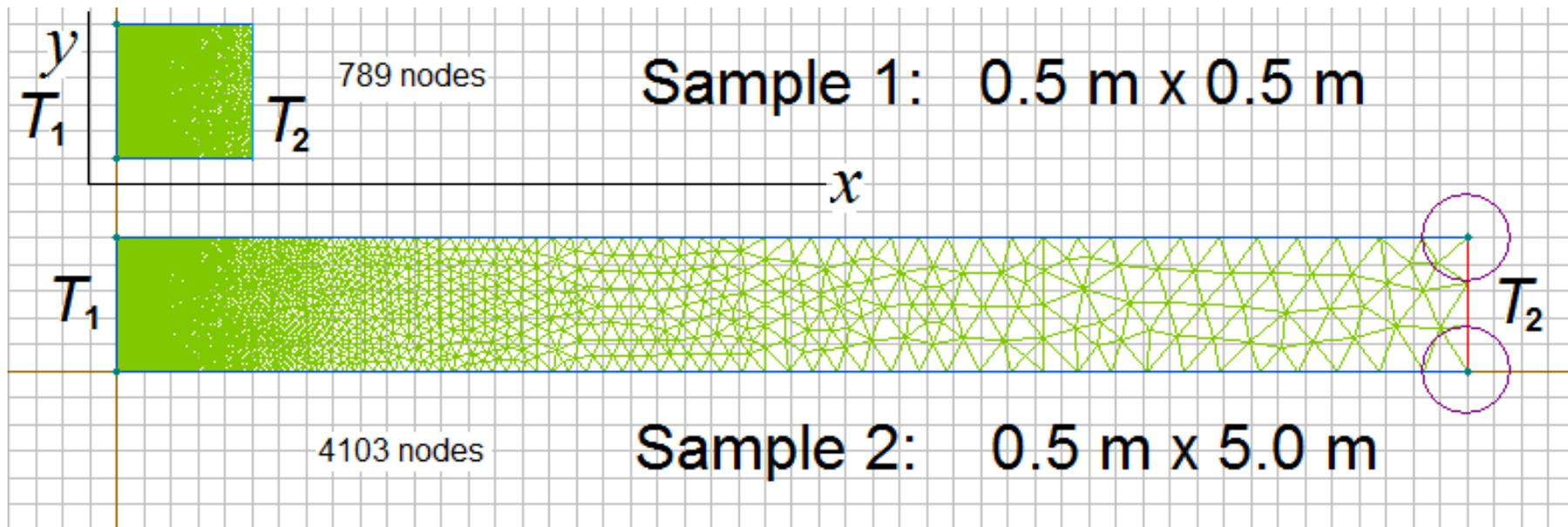
Это можно обеспечить надлежащим выбором граничных условий, от которых зависит магнитный поток (и соответственно магнитная индукция) в поперечном сечении расчетной модели.



## Применение принципа подобия

к решениям уравнения **диффузии тепла** может быть продемонстрировано в **квази-одномерном** рассмотрении с использованием моделей в форме полосы из однородного материала, которую можно считать вырезанной из области со значительно большей шириной вдоль оси  $y$ .

Температура материала  $T = f(x, t)$ .



Решение уравнения диффузии тепла получено далее при заданных параметрах среды и стандартных граничных условиях.

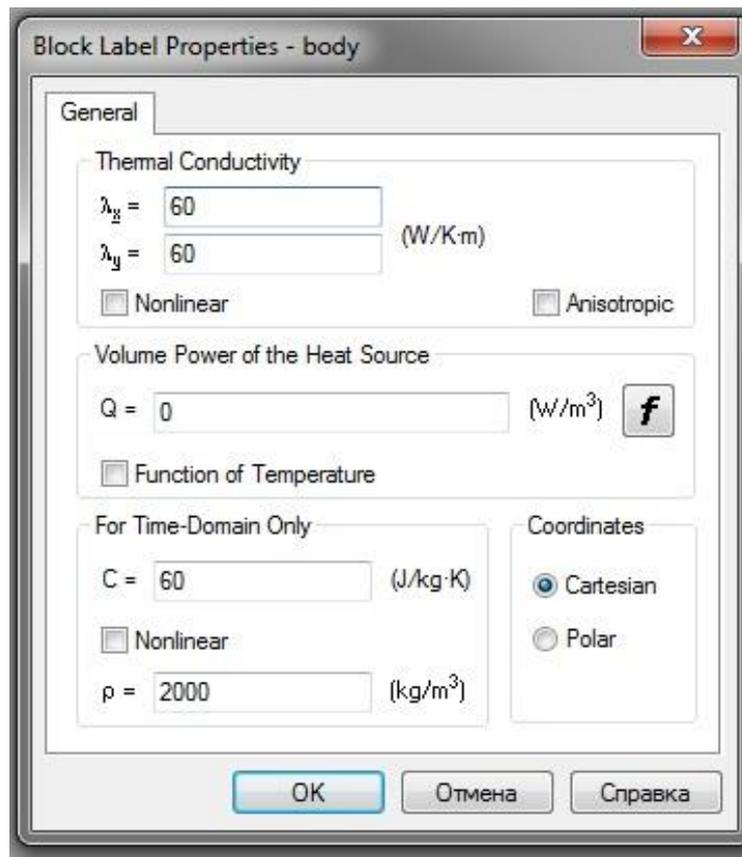


## Свойства метки блока в ELCUT.

Задача: **Теплопередача нестационарная.**

Однородное изотропное тело.

Коэффициент диффузии  **$D = \lambda / (C \cdot \rho)$**  [ м<sup>2</sup>/с ]



### Thermal Conductivity

$\lambda_x = 60$

(W/K.m)

$\lambda_y = 60$

### For Time-Domain Only

$C = 60$

(J/kg.K)

$\rho = 2000$

(kg/m<sup>3</sup>)

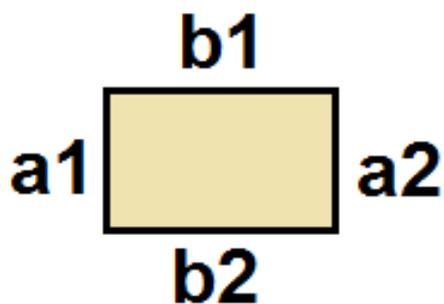
$$D = 60(\text{Вт/К}\cdot\text{м}) / [60(\text{Дж/кг}\cdot\text{К}) \times 2000(\text{кг/м}^3)] = 0.0005 (\text{м}^2/\text{с})$$



## Граничные условия вдоль границ.

Свойства метки ребра.

Задача: **Теплопередача нестационарная**



Вдоль стороны  $a_1$

Edge Label Properties - a1

General

Temperature:  $T = T_o$

$T_o = 80$  (K) [°C]

Вдоль стороны  $a_2$

Edge Label Properties - a2

General

Temperature:  $T = T_o$

$T_o = 0$  (K) [°C]

Вдоль сторон  $b_1, b_2$

Edge Label Properties - b1, b2

General

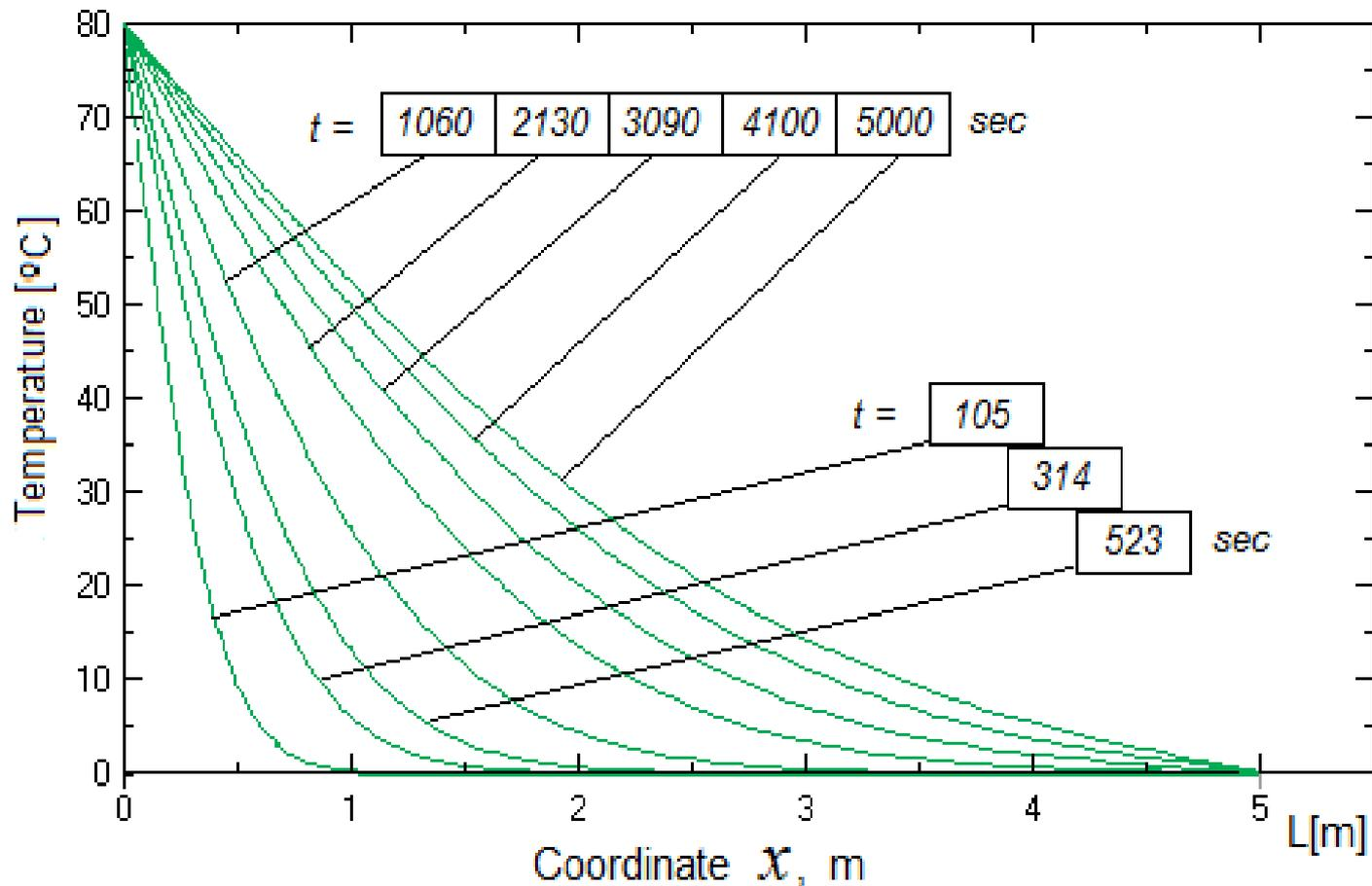
Heat Flux:  $F_n = -q$  ( $\Delta F_n = -q$ )

$q = 0$  (W/m<sup>2</sup>)





Подобное распределение температуры получено при изменении масштабов образца:  $L = 5.0$  м,  $t_{2MAX} = 5000$  с,  $t_{2MAX}/t_{1MAX} = 100$ ,  $X_2/X_1 = 10$ ,  $D_1 = D_2 = 0.0005$  м<sup>2</sup>/с, при сохранении прежних граничных условий.





## Условие достижения стационарного состояния

=====

Really, above at  $D_1 = D_2$   $t_{1\text{MAX}} / t_{2\text{MAX}} = (X_1 / X_2)^2 = 100$ .

Однако, вид графических зависимостей температуры  $T = f(x, t)$  не всегда дает возможность быть уверенными в подобии картин распределении поля температуры.

Для большей уверенности полезно продолжить оба решения до стационарного состояния. В качестве фактора, подтверждающего достижение стационарного состояния, может быть использован градиент температуры.

Тепловой поток равен

$$q = -\lambda \text{ grad } T$$

Если **градиент температуры остается постоянным** вдоль координаты  $X$  **с достаточно высокой точностью**, это означает, что распределение температуры достигло установившегося значения.

Это дает возможность однозначно определить время достижения стационарного состояния  $t_{\text{MAX}}$ .



# Идентичность граничных условий как необходимое условие для подобия решений

При изменении размера образца в соответствии с изменением длительности процесса идентичность граничных условий представляет собой необходимое условие для точного подобия решений.

Это значит, что одновременно с трансформацией размера модели и длительности процесса необходимо трансформировать величину теплового потока в направлении, вдоль которого происходит диффузия тепла:

$$q = -\lambda \operatorname{grad} T$$

При одномерном анализе  $q = -\lambda \Delta T / \Delta x = -\lambda (T_1 - T_2) / L$ .

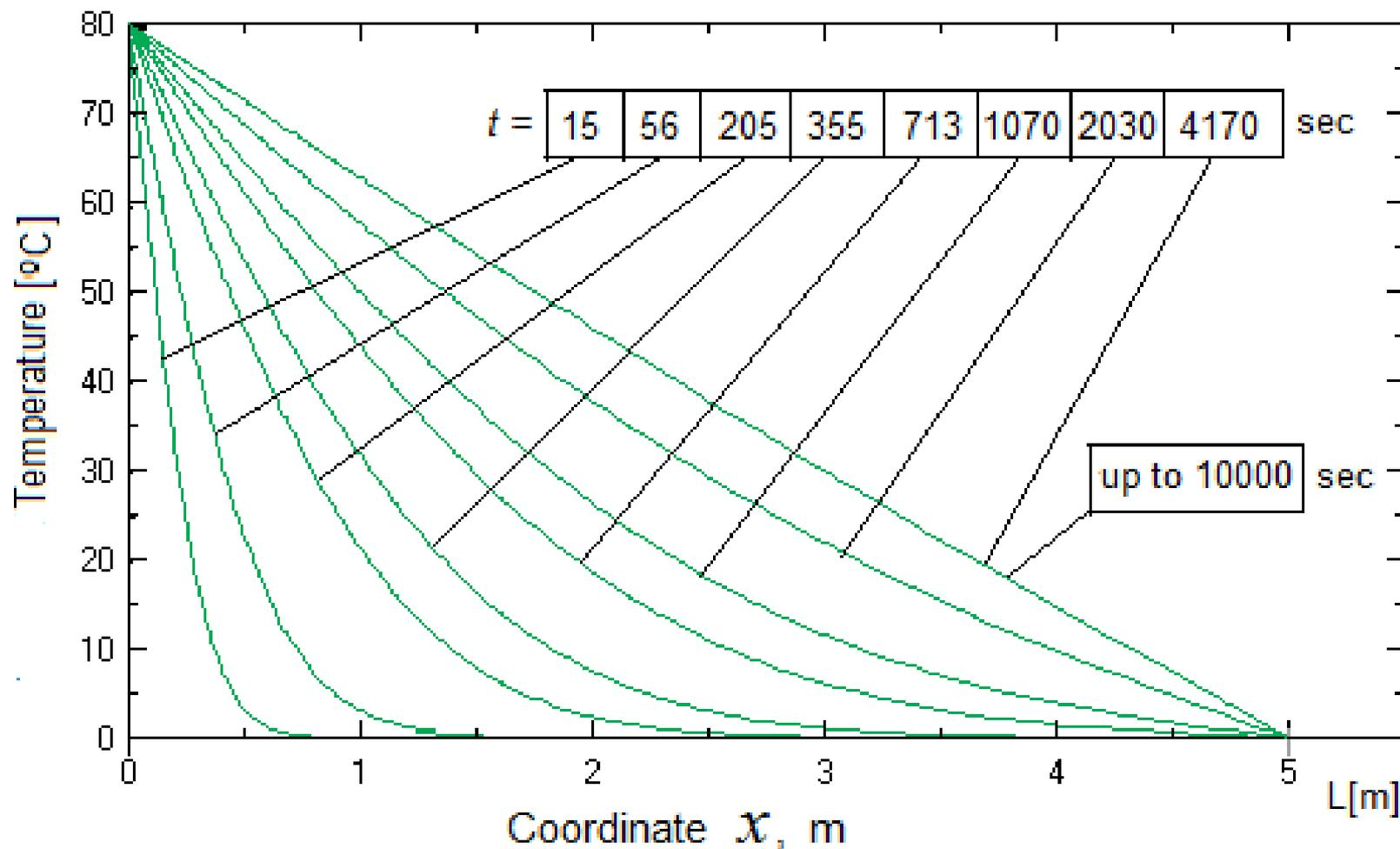
=====

Особый случай задачи о нестационарном распространении тепла - это задача при заданном тепловом потоке на одной (или двух) границах расчетной модели.

При такой постановке задачи задание граничного условия по величине  $q$  также входит в число необходимых условий, обеспечивающих подобие решений для модельных образцов с измененными параметрами размера модели и времени процесса.



Распределение температуры при  
 $D = 0.002 \text{ м}^2/\text{с}$ ,  $T_1 = 80^\circ \text{ С}$ ,  $T_2 = 0^\circ \text{ С}$ ,  $t_{MAX} = 10000 \text{ с}$ .  
Длина образца  $L = 5.0 \text{ м}$ .

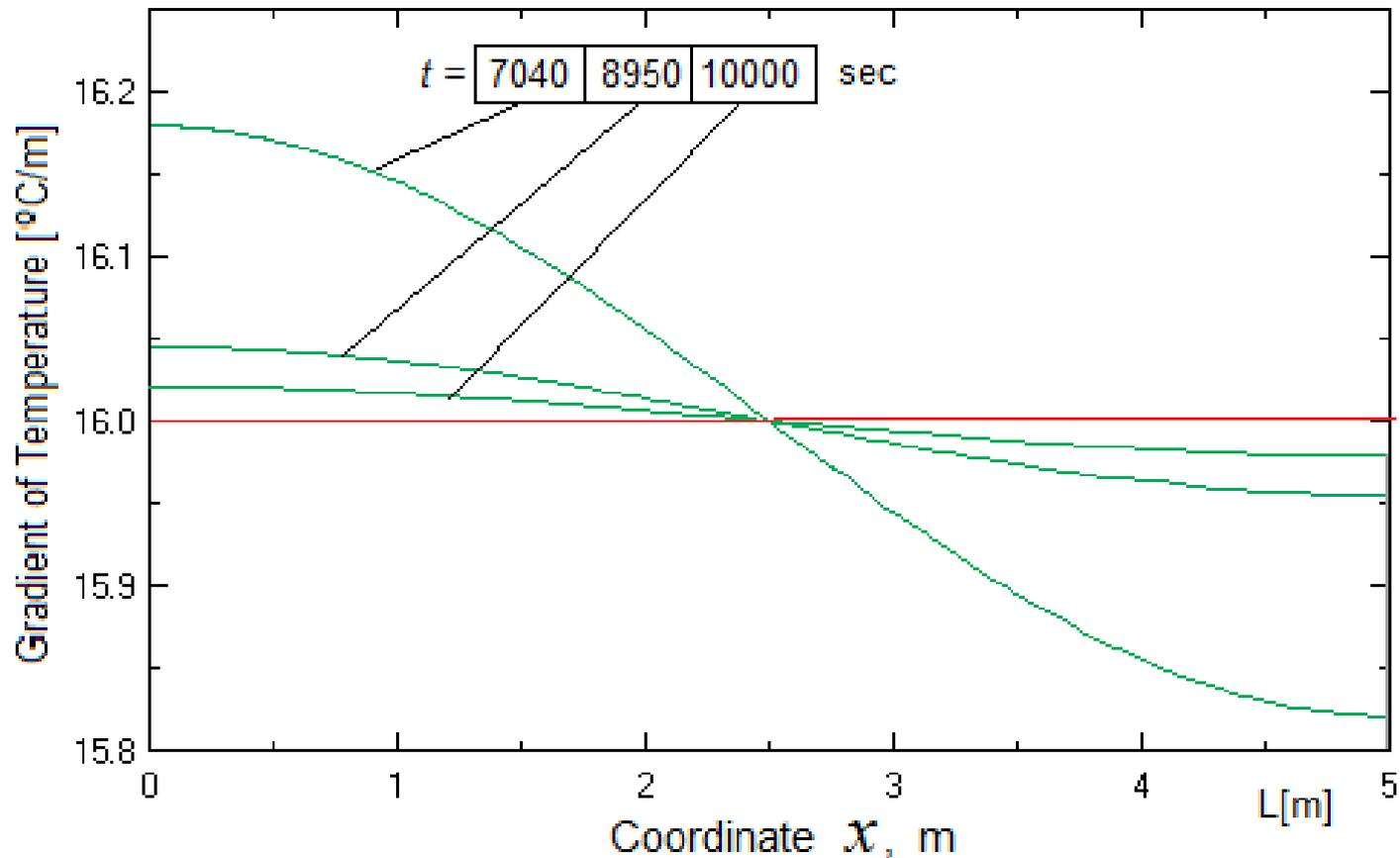






Градиент температуры в конечные моменты  
времени для образца с  $L = 5$  м.

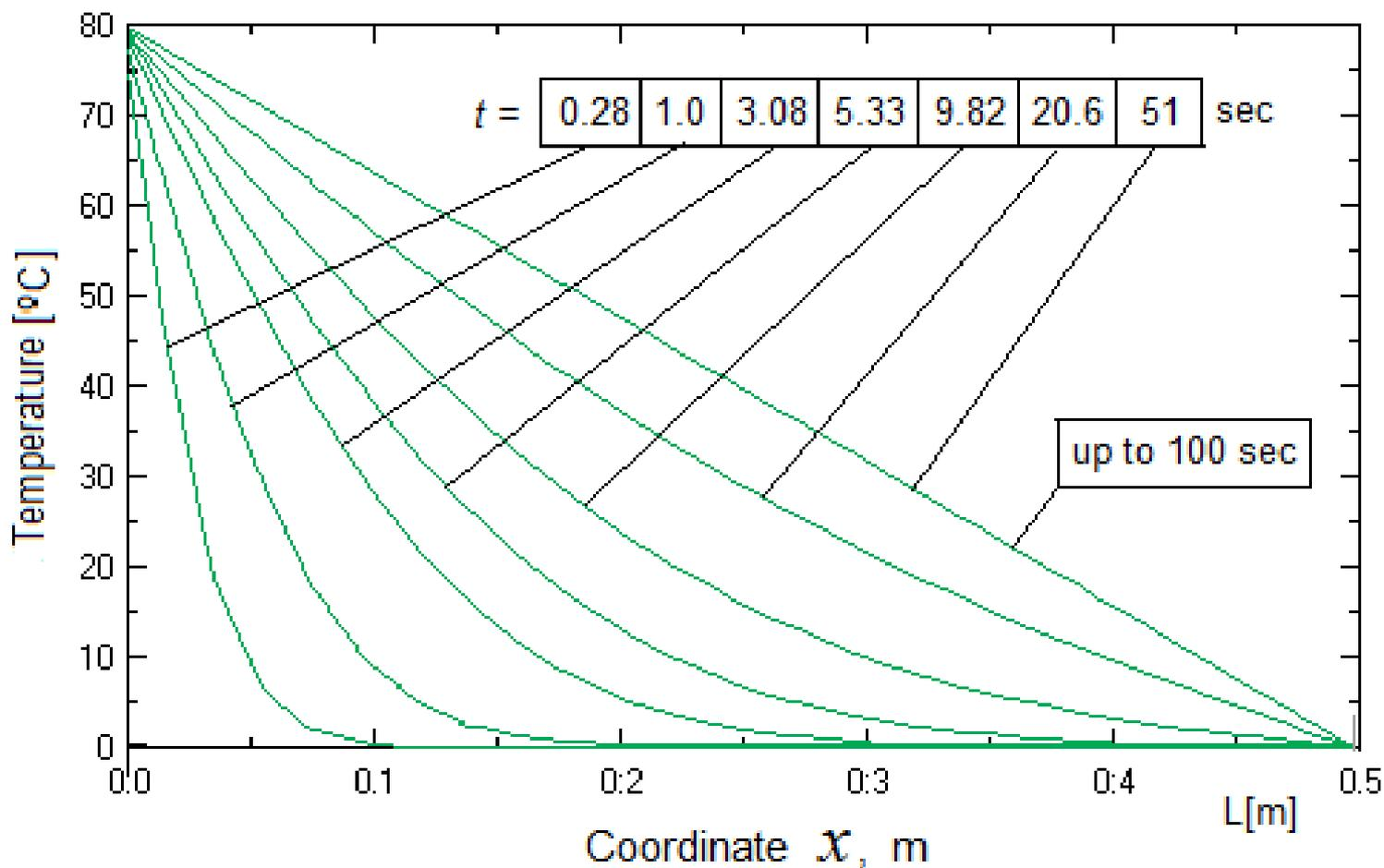
$D = 0.002$  м<sup>2</sup>/с,  $T_1 = 80^\circ\text{C}$ ,  $T_2 = 0^\circ\text{C}$ ,  $t_{MAX} = 10000$  с. Величина **grad T**  
отличается от однородного распределения не более, чем на 0.1%.





Распределение температуры для уменьшенной модели.  
 $L = 0.5 \text{ m}$ .  $D = 0.002 \text{ m}^2/\text{s}$ .  $T_1 = 80^\circ\text{C}$ ,  $T_2 = 0^\circ\text{C}$ ,  $t_{MAX} = 100 \text{ c}$ .

Размер по  $X$  уменьшился в 10 раз;  $t_{MAX}$  уменьшилось в 100 раз.



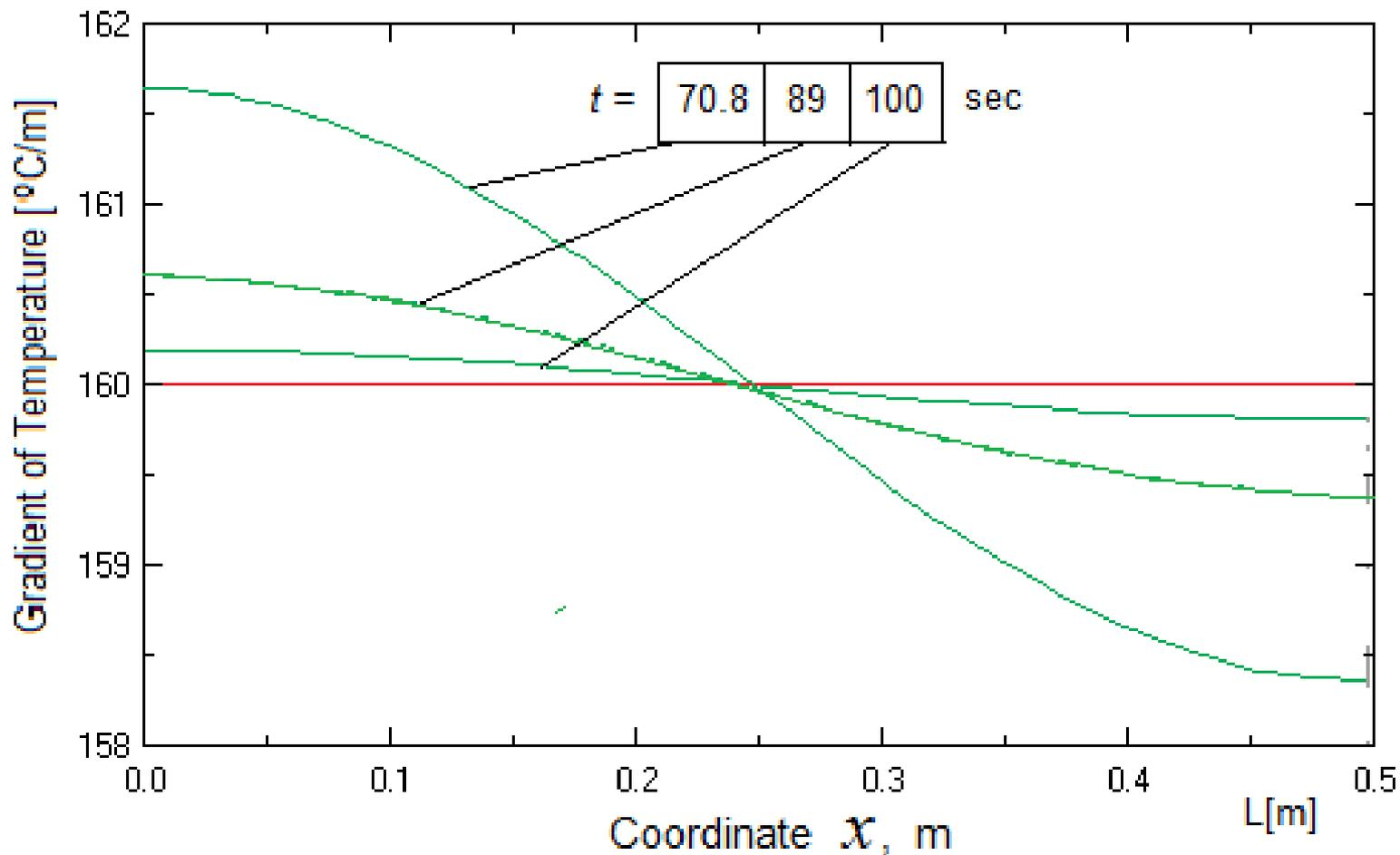




Градиент температуры в конечные моменты времени.

$L = 0.5$  м.  $D = 0.002$  м<sup>2</sup>/с,  $T_1 = 80^\circ\text{C}$ ,  $T_2 = 0^\circ\text{C}$ ,  $t_{\text{MAX}} = 10000$  с.

Отклонение величины **grad T** от однородного распределения менее 0.1%.





**ВЫВОД № 1. Для достижения подобия решений при изменении масштабов модели в задаче**

**о нестационарном распространении тепла необходимо:**

**1) Выполнить равенство значений общего критерия подобия**

$$D_1 \frac{t_{1bas}}{X_{1bas}^2} = D_2 \frac{t_{2bas}}{X_{2bas}^2}$$

**(здесь  $t_{1bas}$  и  $t_{2bas}$  - это базисные значения времени, или же времена достижения**

**стационарного состояния для обеих моделей);**

**2) Обеспечить пропорциональное изменение теплового потока в направлении диффузии тепла соответственно изменению характеристического размера модели:**

$$q_1 = \frac{\Delta T_1}{L_1}; \quad q_2 = \frac{\Delta T_2}{L_2}.$$

**Из граничных условий ( $\Delta T_1 = \Delta T_2$ )**

**следует соотношение между тепловыми потоками:**

$$\frac{q_1}{q_2} = \frac{L_2}{L_1}$$

**Это соотношение служит условием идентичности решений для распределения температуры ( $T$ ) по абсолютным значениям.**

**Это будет видно на следующем примере.**

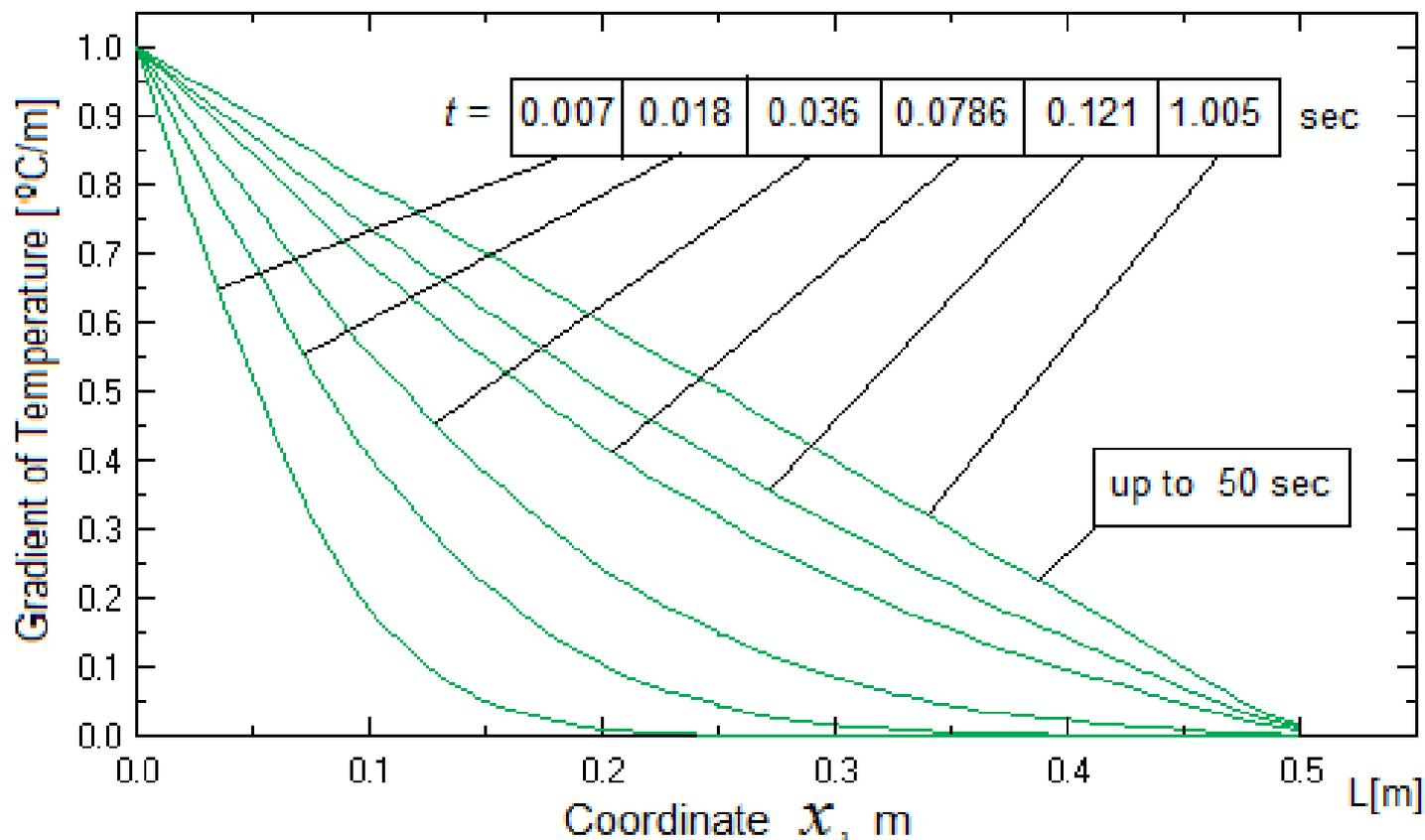


## Формирование градиента температуры

в начальной стадии диффузии, когда тепловой поток задан постоянным на левой границе модели.

$L = 0.5$  м,  $D = 0.417$  (м<sup>2</sup>/с),  $q_0 = 10000$  (Вт/м),  $T_2$  is free,  $t_{MAX} = 50$  с.

Температура на левой границе  $T_1$  зависит от интенсивности теплового потока и времени.



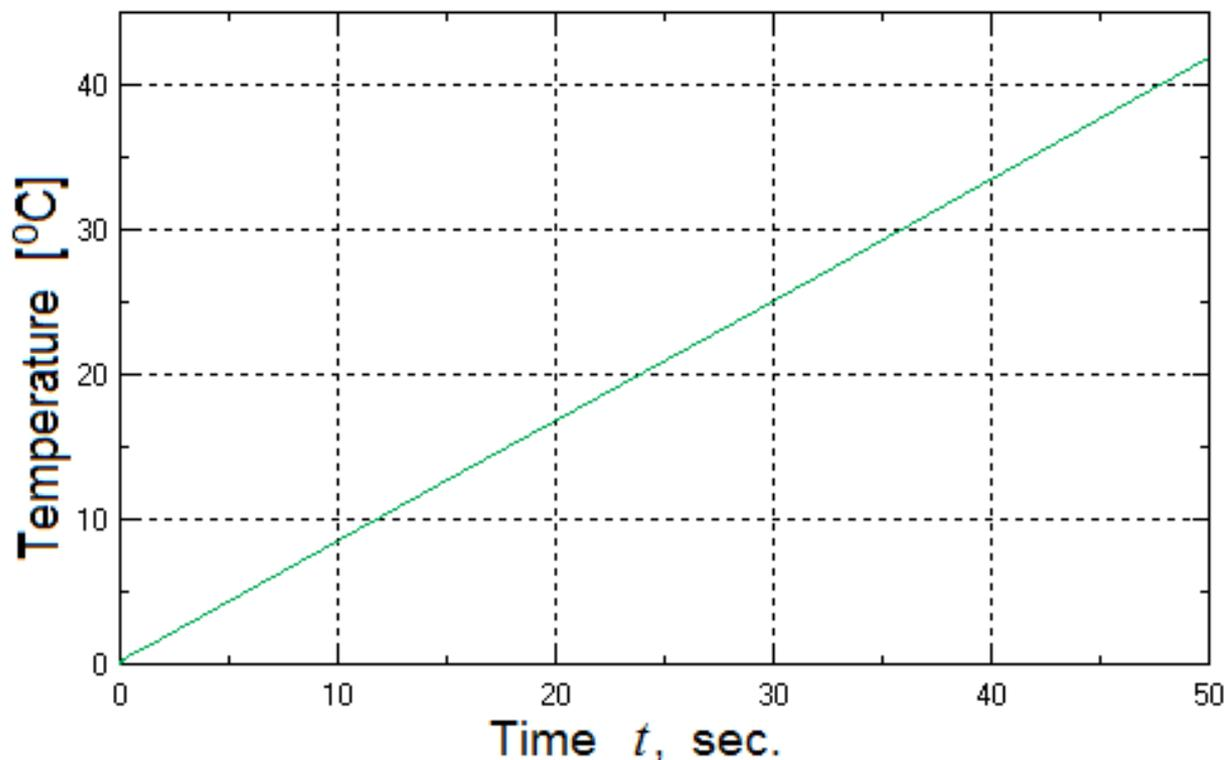


## Температура на левой границе модели как функция времени.

$L = 0.5$  м,  $D = 0.417$  (м<sup>2</sup>/с),  $q_0 = 10000$  (Вт/м),  $t_{MAX} = 50$  с.

{Подобный график температуры получен для увеличенной модели:

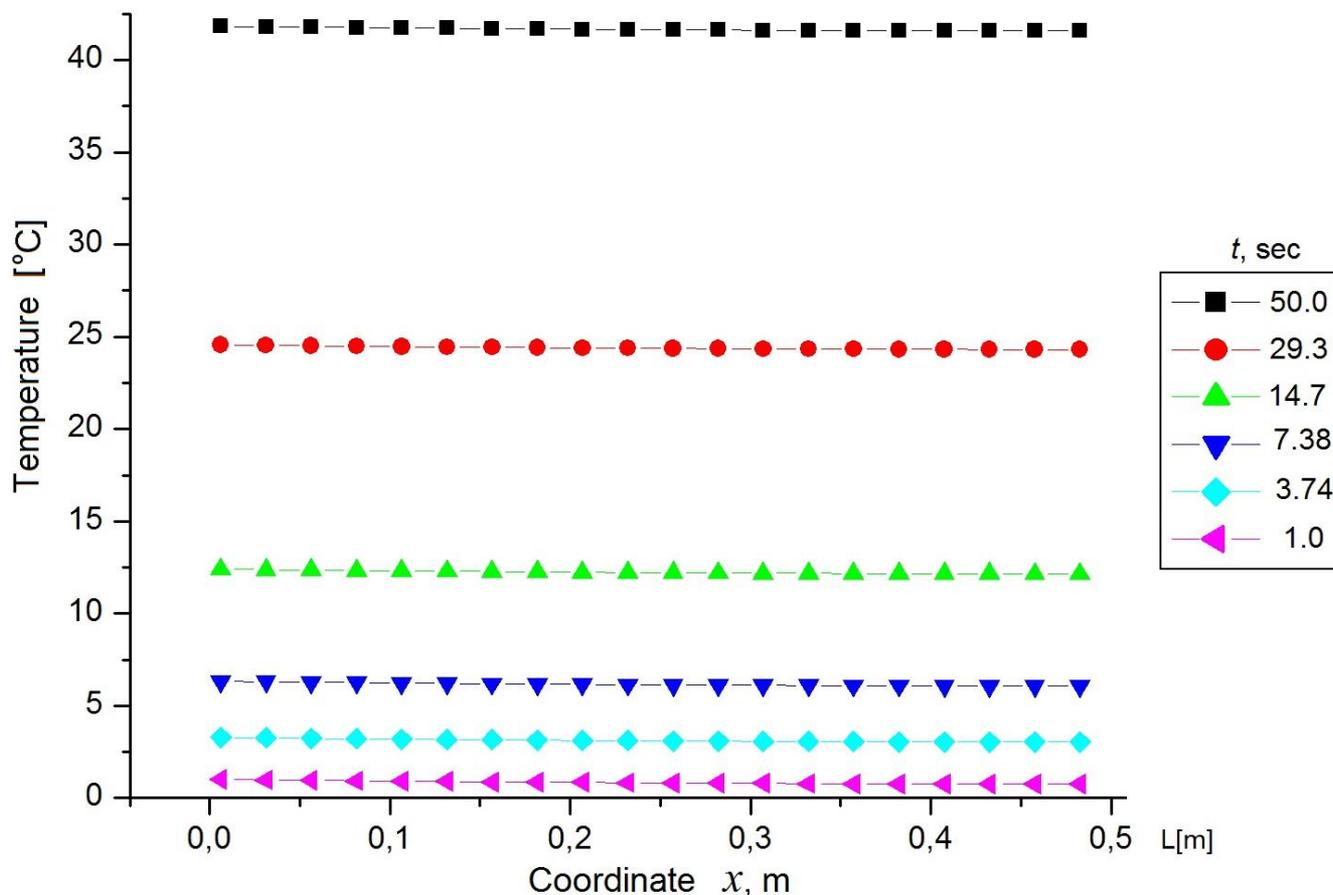
$L = 5.0$  м,  $D = 0.417$  (м<sup>2</sup>/с),  $q_0 = 1000$  (Вт/м),  $t_{MAX} = 5000$  с.}





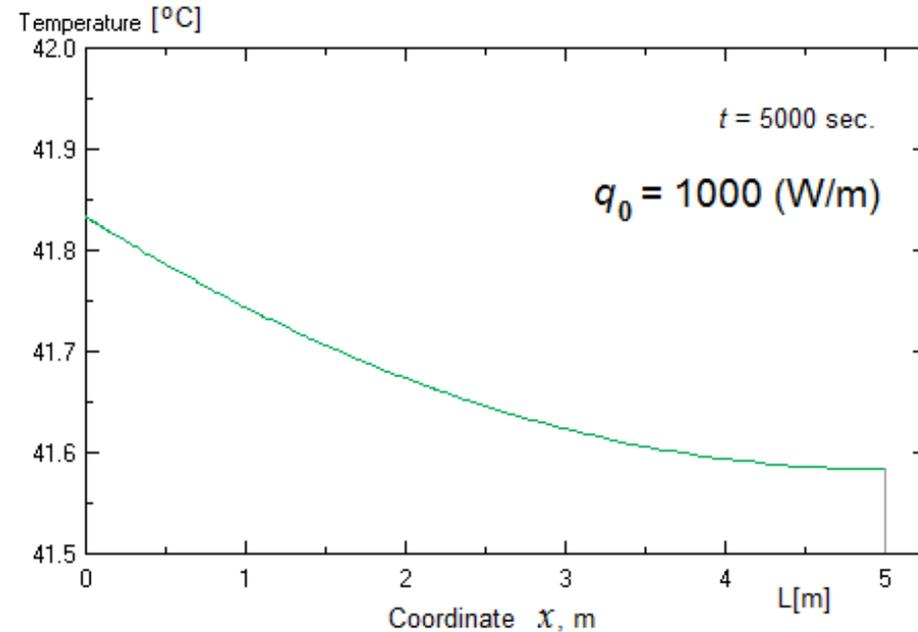
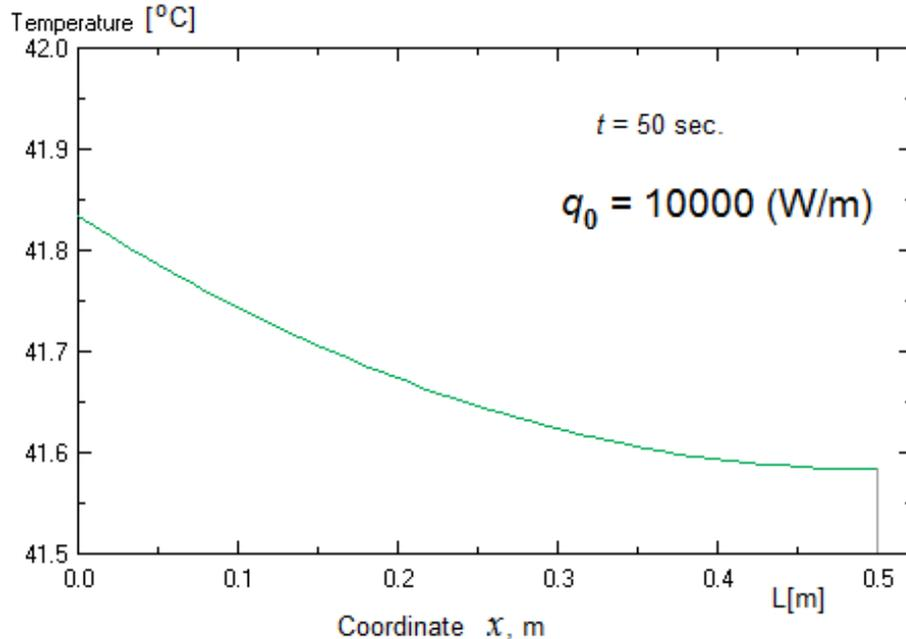
## Распределение температуры по длине образца с $L = 0.5$ м по мере её возрастания на левой границе модели.

Подобное распределение температуры получено для увеличенной модели с  $L = 5$  м при увеличении длительности процесса (до  $t_{MAX} = 5000$  с) и уменьшении величины теплового потока (до 1000 Вт/м вместо 10000 Вт/м).





Сравнение распределения температуры вдоль оси  $x$  в конечный момент времени подтверждает подобие решений.



Если возможно достичь **подобия процессов** на основе критерия подобия при равенстве градиентов температуры **в конечный момент времени при достижении стационарного состояния state**, аналогичным образом можно достичь **подобия процессов** иной длительности, если соблюдены условия подобия пространственных и временных параметров моделей совместно с граничными условиями.



## Подобие решений

уравнения диффузии магнитного поля

В линейной среде, которая отличается постоянной электропроводностью и постоянной магнитной проницаемостью, решение уравнения нестационарной диффузии магнитного поля имеет такой же характер, как и решение уравнения диффузии тепла. Некоторые отличия имеются лишь в формулировке граничных условий.

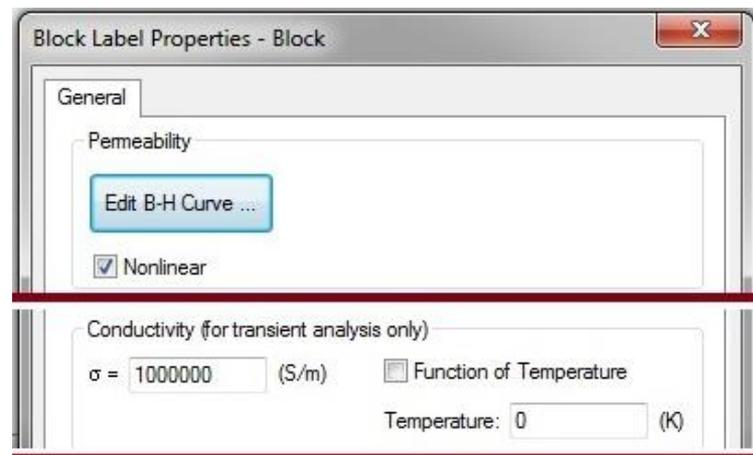
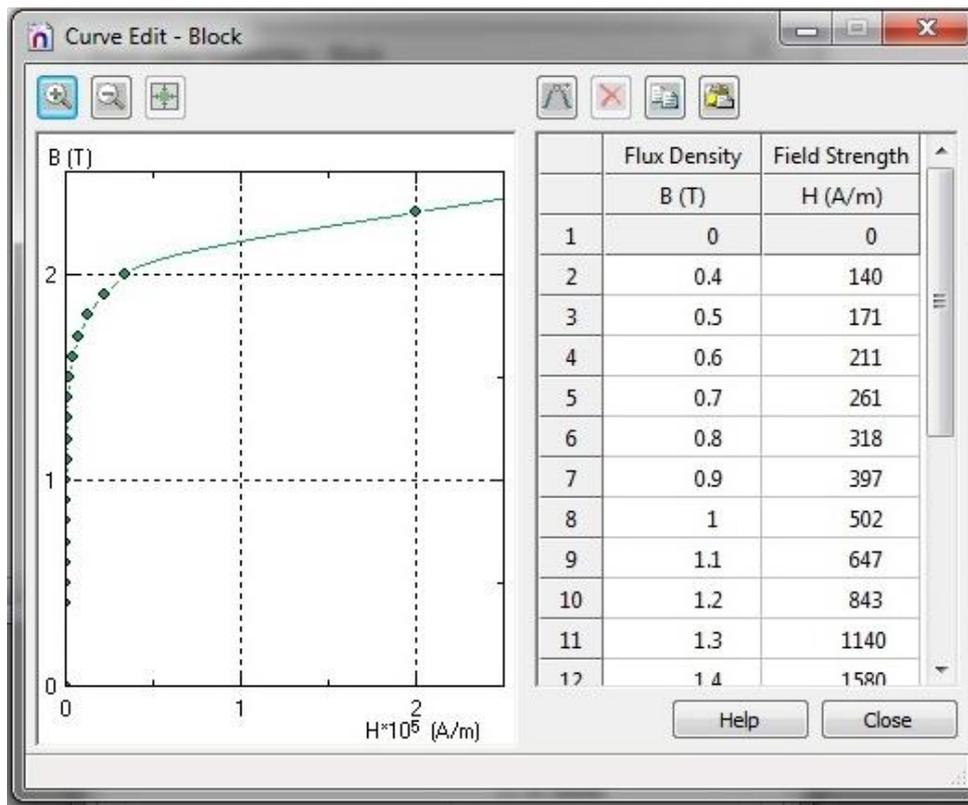
В задаче о магнитном поле  $y$ -компонента векторного магнитного потенциала  $A_y$  играет ту же роль в граничных условиях, что и температура  $T$  в задаче о распространении тепла.

В то же время, магнитная индукция поля, которая в одномерном случае равна  $B_z = \partial A_y / \partial x$ , играет в решении ту же самую роль, что тепловой поток  $q$  в задаче о переносе тепла ( $q_x = -\lambda \partial T / \partial x$ ).



## Свойства метки блока в Elcut.

Для исследования подобия процессов диффузии магнитного поля в моделях различного масштаба в качестве материала моделей была выбрана слабо магнитная **сталь** (типа низкокачественной электротехнической стали) **при той же самой геометрии моделей**, что и для процессов диффузии тепла.



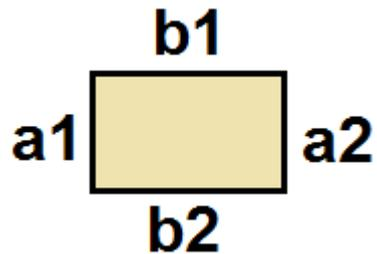
Образцы имеют такую же длину: 0,5 м или 5 м.

Когда в расчетную модель вводится одна и та же кривая намагничивания материала, это служит гарантией того, что будет достигнуто полное подобие решений при трансформации пространственных и временных характеристик процесса диффузии поля в нелинейный ферромагнетик даже при наличии в нем потерь энергии.

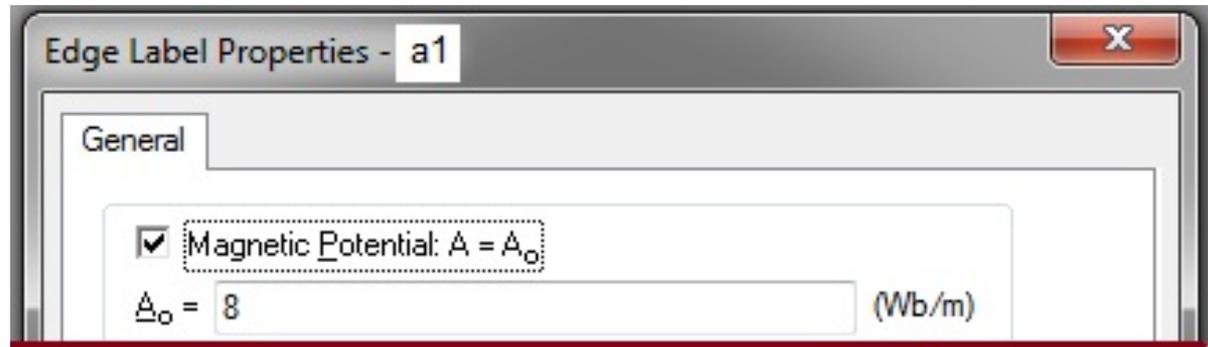


## Граничные условия вдоль ребер. Образец 1 ( $L = 5$ м).

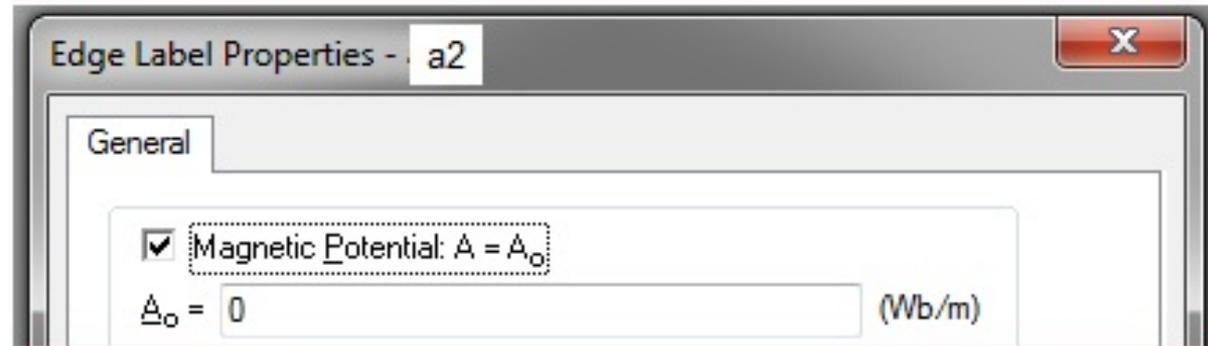
Свойства метки ребра. Задача: **Теплопередача нестационарная.**



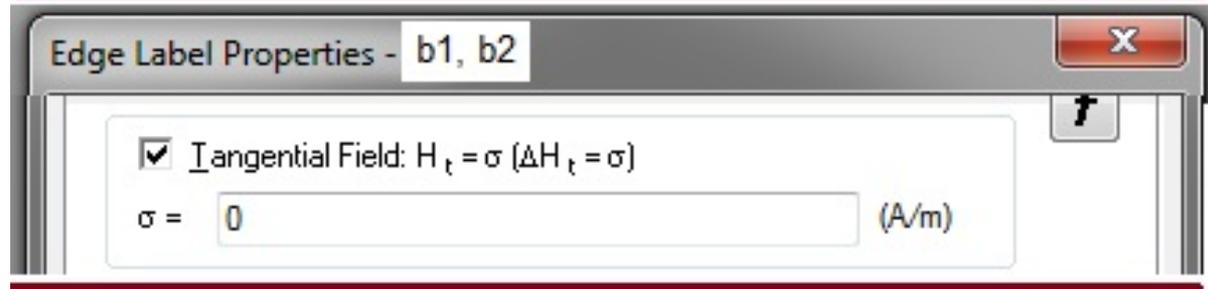
Вдоль ребра  $a1$



Вдоль ребра  $a2$



Вдоль ребер  $b1, b2$

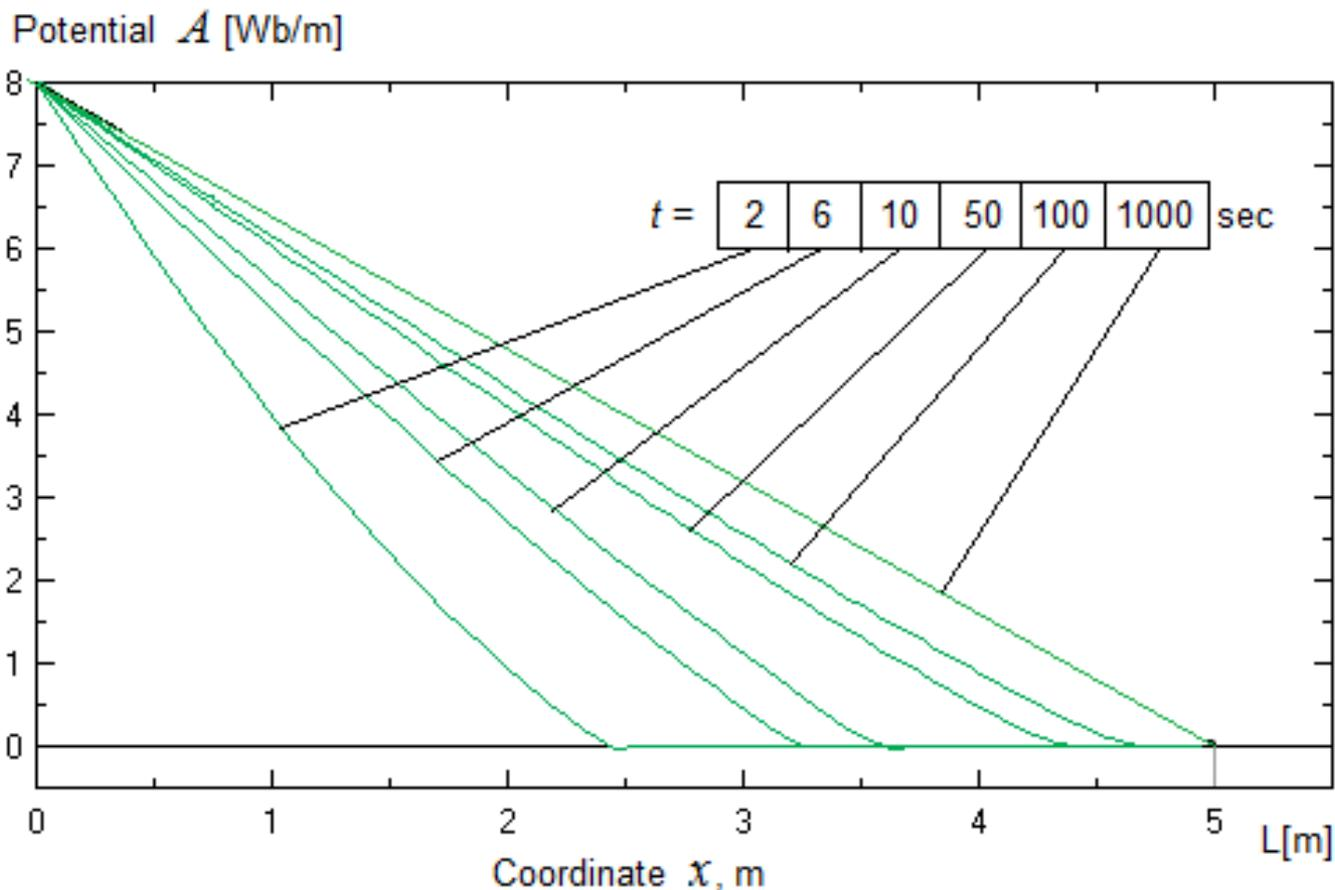


$$A_1 - A_2 = 8.0 \text{ [Wb/m]}$$



График показывает формирование распределения магнитного потенциала на ранних этапах диффузии поля в образец 1 ( $L = 5.0$  m). На более поздних этапах диффузии (время от 300 до 1000 с) распределение потенциала остается неизменным.

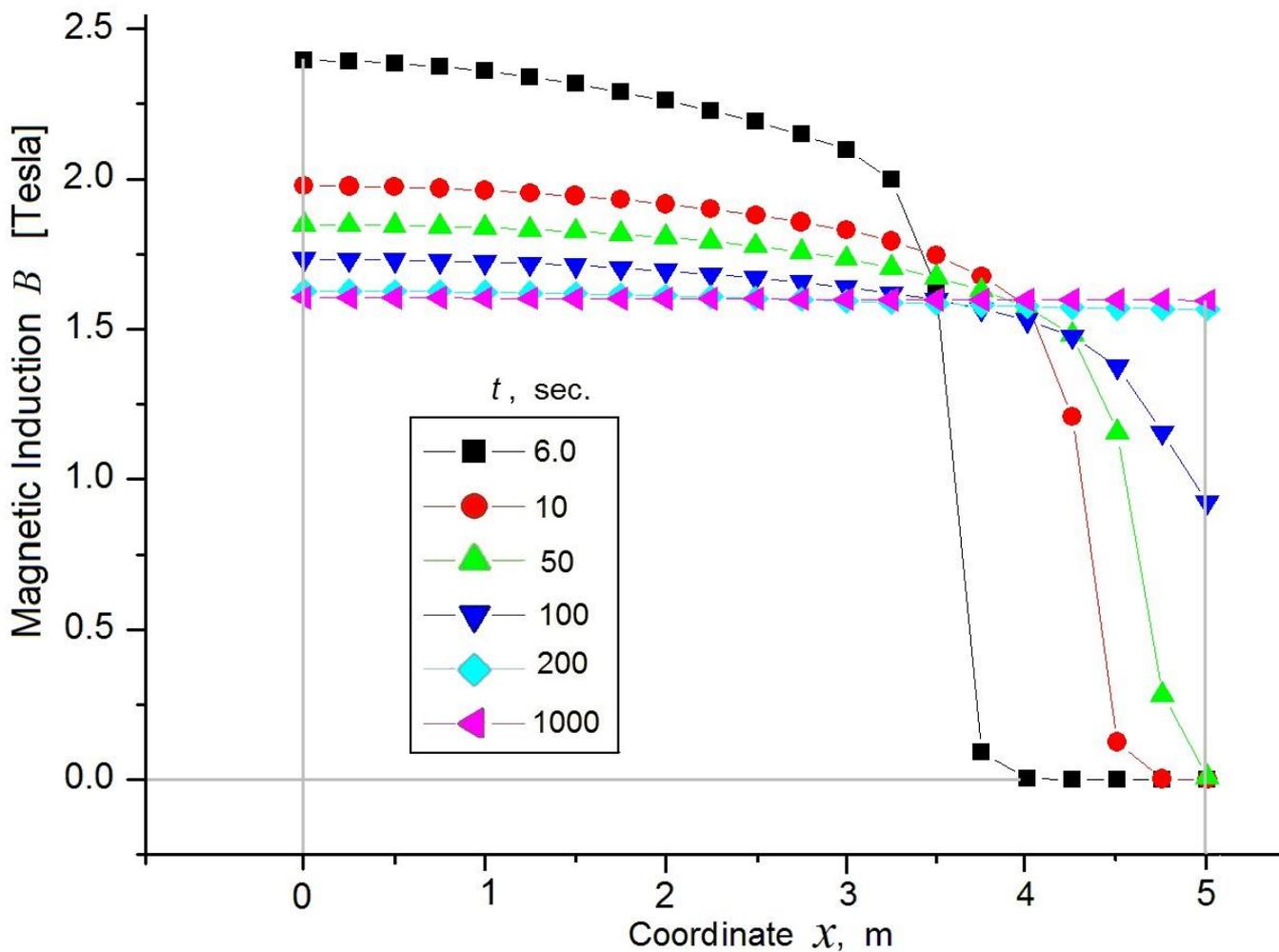
Такая же картина получена для уменьшенного образца 2 с длиной  $L = 0.5$  m в интервале значений координаты  $x$  от 0 до 0.5 m при уменьшении длительности процесса в 100 раз (0...10 с).





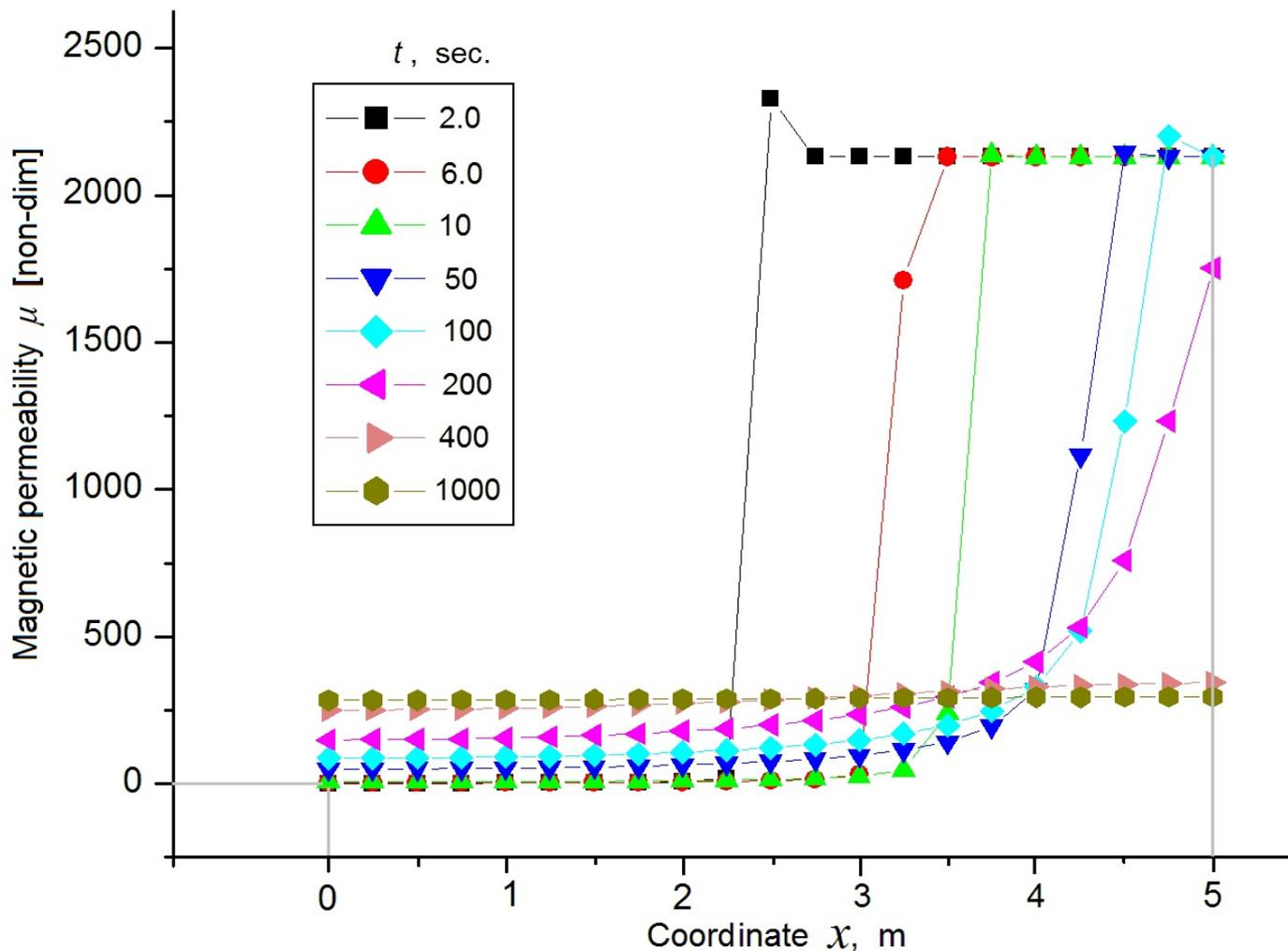
Распределение магнитной индукции по длине образца 1 ( $L = 5.0$  м).  
Можно видеть зону насыщения с подвижной границей.

Процесс приближается к стационарному при  $t \rightarrow 1000$  с.





Видно, что на начальных этапах процесса сталь имеет зону насыщения с низкой проницаемостью (её граница подвижна), в то время как в остальной части образца сталь не насыщена.





## Распределение поля при трансформации модели по условиям подобия

При изменении размерности и длительности процесса в рассмотренных образцах для соблюдения критериев подобия между изменением размеров и изменением времени процесса должно быть следующее соотношение:

$$[t_{1MAX}/t_{2MAX} = (X_1 / X_2)^2 = 100].$$

Распределение поля в модели с измененным масштабом несмотря на нелинейность магнитных свойств среды остается подобным распределению поля в первой модели благодаря равенству уровней магнитной индукции в обеих моделях.

Это достигается благодаря тому, что граничные условия обеспечивают равные значения магнитного потока через поперечное сечение модели в установившемся режиме: :

$$B_z = \Phi/S = (A_1 - A_2) / L \text{ [Вб/м}^2\text{]},$$

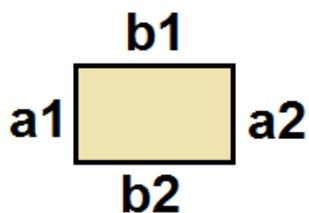
где **L** – размер модели в направлении диффузии поля (т.е. вдоль оси *x*) .

*Равенство магнитных потоков, которое ожидается в обеих моделях при достижении стационарного режима, может рассматриваться как дополнительное условие подобия полей, с помощью которого обеспечивается равенство уровней индукции и подобие влияния нелинейности магнитного материала на величину полу в обеих моделях.*



**Образец 2 (L = 0.5 m).**  
**Граничные условия вдоль ребер.**  
Свойства метки ребра.

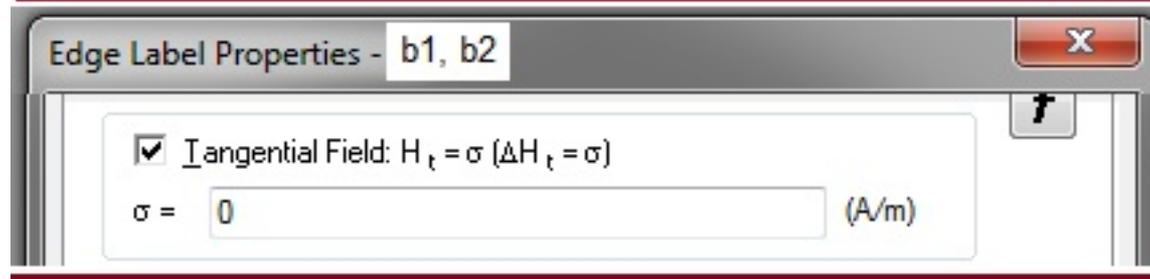
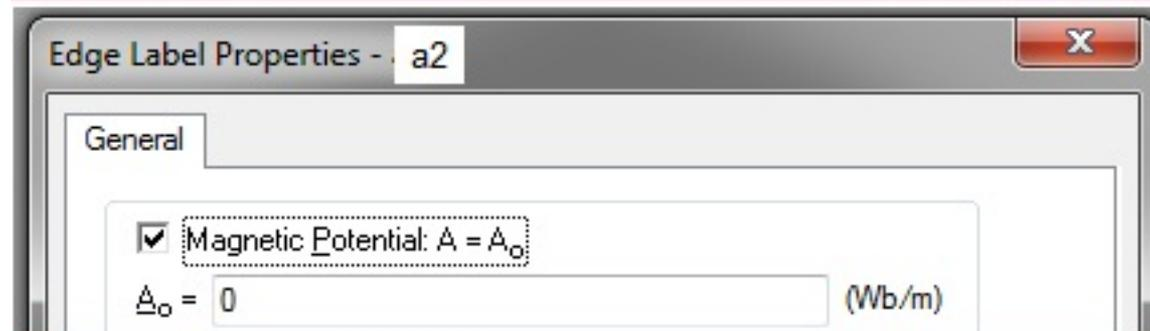
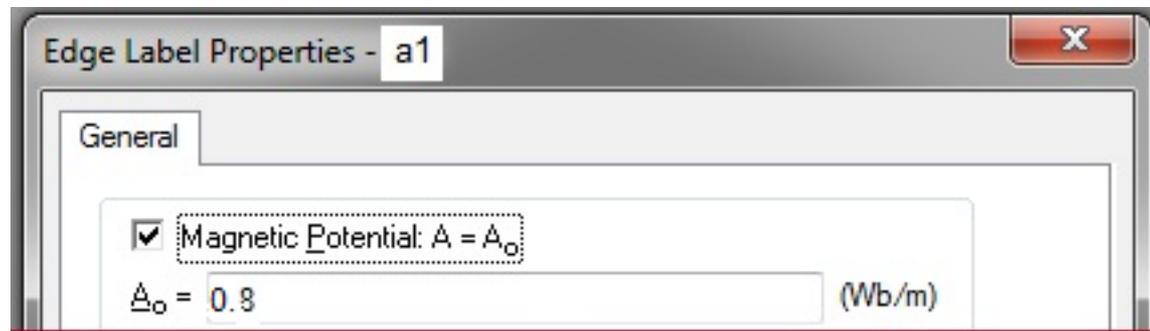
Задача: **Магнитное нестационарное поле.**



Вдоль метки **a1**

Вдоль метки **a2**

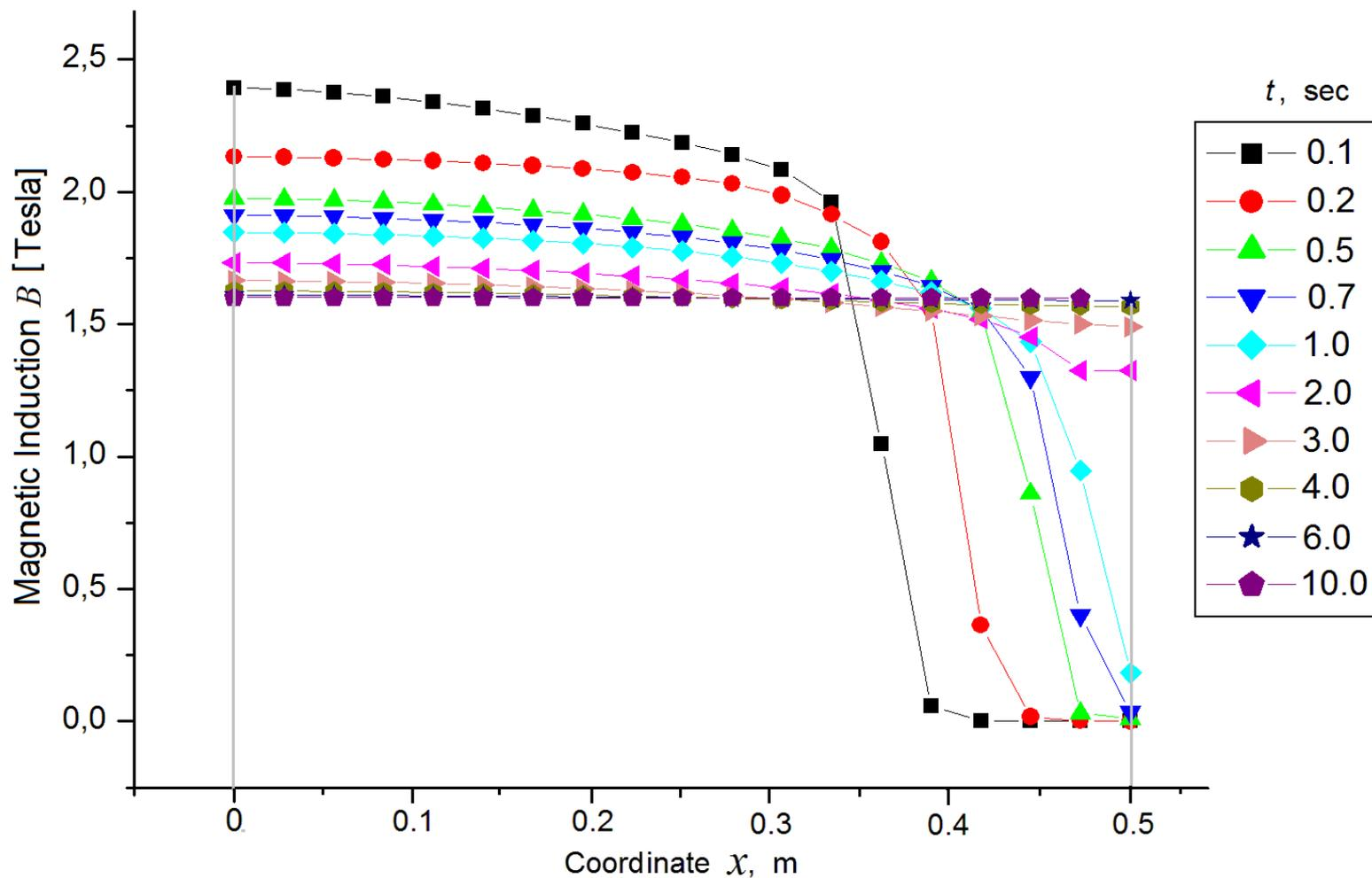
Вдоль меток **b1, b2**



$$A_1 - A_2 = 0.8 \text{ [Вб/м]}$$

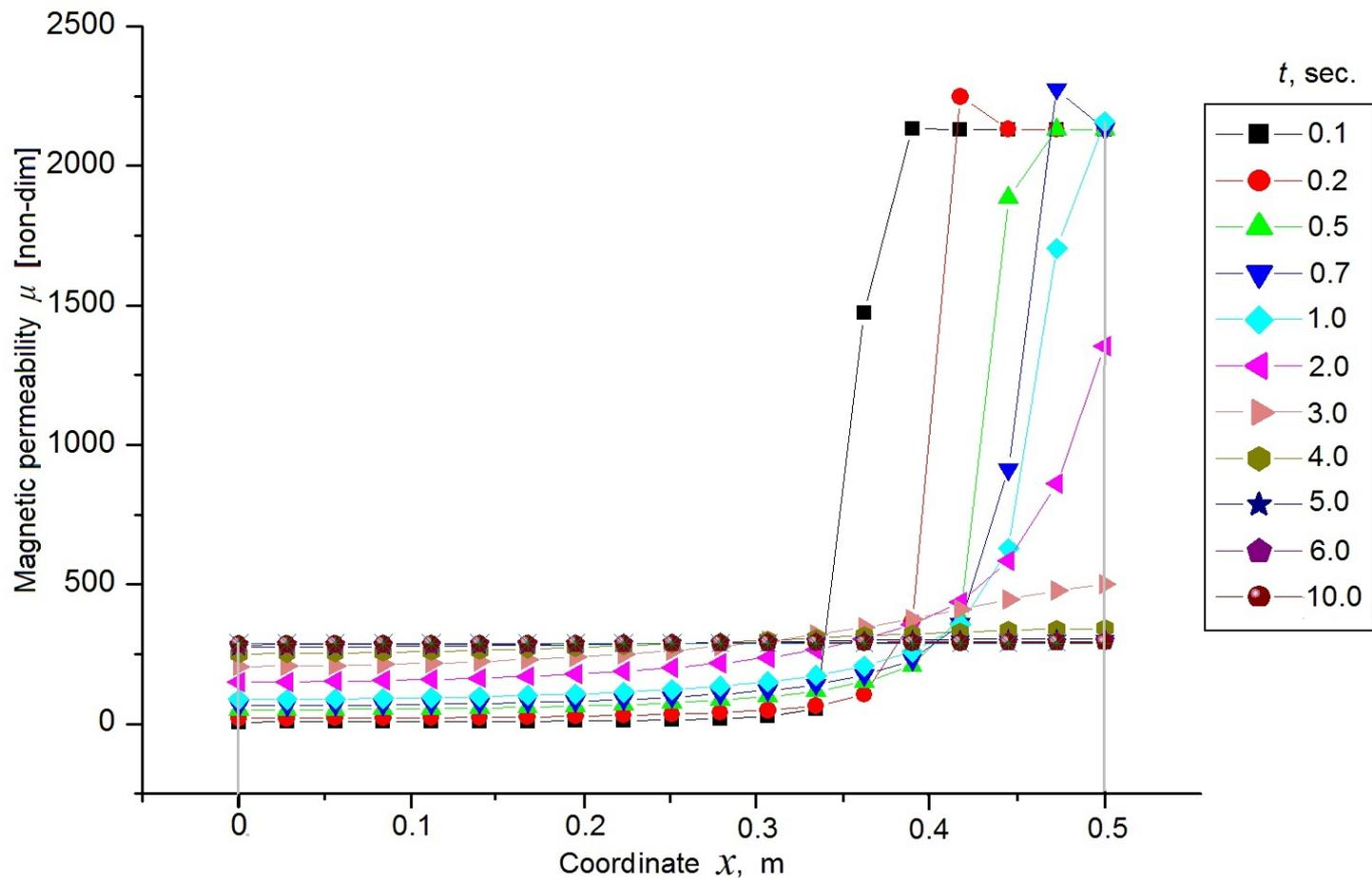


Распределение индукции поля в образце 2 ( $L = 0.5$  м) не отличается от распределения поля в образце 1 ( $L = 5$  м) при согласованном изменении масштабов времени и расстояния.





Распределение магнитной проницаемости по длине образца 2 ( $L = 0.5$  м) принципиально такое же, как в образце 1 ( $L = 5.0$  м) при согласованном изменении масштабов времени и расстояния.





## Можно ли сравнить коэффициенты диффузии поля в рассматриваемых моделях?

Для сравнения коэффициентов диффузии поля в нелинейный ферромагнетик могут быть использованы значения коэффициентов диффузии, которые достигаются при достижении стационарного режима в обеих моделях (т.е. при завершении процесса диффузии).

В обоих случаях (образец 1, образец 2) установившееся значение магнитной проницаемости при одинаковых значениях магнитной индукции  $B_z = 1.6$  Тл равно  $\mu = 289,4 \mu_0$ .

Электропроводность материала  $\sigma = 1e06$  См/м.

Таким образом, в обоих случаях можно считать, что конечное значение коэффициента диффузии составляет

$$D = 1/[\mu \cdot \sigma] =$$
$$= 1/[289,4 \cdot 1,26E-6 \cdot 1E6] = 0.0274 \text{ [м}^2\text{/с]}.$$



**ВЫВОД 2.** Моделирование диффузии магнитного поля в линейной среде принципиально не отличается от моделирования нестационарной теплопередачи.

Между величинами поля существует следующая аналогия:

температура  $T \rightarrow$  магнитный потенциал  $A$  ;

тепловой поток  $q \rightarrow$  плотность магнитного потока  $B$ .

Моделирование диффузии магнитного поля в нелинейном ферромагнетике при наличии электрической проводимости может приводить к подобным результатам для двух геометрически подобных моделей при выполнении следующих условий подобия:

- 1) **подобие пространственных и временных масштабов сравниваемых моделей** (характерный размер  $X_{bas}$  , длительность процесса  $T_{bas}$ );
- 2) **равенство размерных  $D$  или безразмерных  $D^*$  коэффициентов диффузии**, определяемых для установившегося процесса, когда диффузия завершена (это условие связано с предыдущим);
- 3) **равенство значений плотности магнитного потока  $B$**  , определяемых для установившегося состояния, когда диффузия завершена (это необходимо для корректного учета нелинейных свойств среды в каждом образце).

Общее условие подобия моделей сохраняет свою форму и для нелинейных сред:

$$D_1 \frac{T_{1bas}}{X_{1bas}^2} = D_2 \frac{T_{2bas}}{X_{2bas}^2}$$

===== ОКОНЧАНИЕ =====